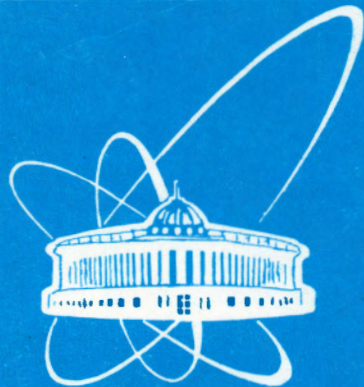


94-260



ОБЪЕДИНЕННЫЙ
ИНСТИТУТ
ЯДЕРНЫХ
ИССЛЕДОВАНИЙ
ДУБНА

P1-94-260

Р.Н.Бекмирзаев, Е.Н.Кладницкая, М.М.Муминов,
С.А.Шарипова

БЫСТРОТНЫЕ РАСПРЕДЕЛЕНИЯ ПРОТОНОВ
В (p, d, α, C) -C-ВЗАИМОДЕЙСТВИЯХ
ПРИ 4,2 ГэВ/с НА НУКЛОН

Направлено в журнал «Ядерная физика»

1994

Проводится анализ распределений протонов по быстроте в зависимости от поперечного импульса для pC - , dC - , αC - и CC -взаимодействий при $4,2 \text{ ГэВ/с}$ на нуклон. Эта работа служит продолжением исследований, начатых в [1], где в зависимости от поперечного импульса анализировались быстротные распределения π^- -мезонов для тех же ядро-ядерных взаимодействий.

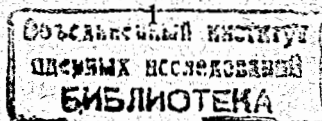
Экспериментальные распределения протонов сравнивают с соответствующими распределениями, полученными по модели кварк-глюнных струн (КГСМ) [2]. В [1] показано, что используемый для сравнения с экспериментом вариант КГСМ [2] удовлетворительно описывает распределение π^- -мезонов, дает хорошо согласующиеся с экспериментом средние множественности π^- -мезонов для pC - , dC - и αC -соударений, но на 10% завышает $\langle n_{\pi^-} \rangle$ для CC -взаимодействий.

Представляет интерес провести сравнение с КГСМ [2] характеристик вторичных частиц разного типа (π , p , Λ , K) для широкого набора атомных весов сталкивающихся ядер, это даст возможность выяснить насколько вариант модели КГСМ [2] близок к истинной картине ядро-ядерных взаимодействий.

ЭКСПЕРИМЕНТАЛЬНЫЙ МАТЕРИАЛ

В работе использован материал, полученный на двухметровой пропановой пузырьковой камере ЛВЭ ОИЯИ, облученной в пучках протонов, дейtronов, α -частиц, ядер углерода с импульсом 4.2 ГэВ/с на нуклон. Неупругие взаимодействия с ядрами углерода отбирались из всех событий в пропане по ранее описанной методике [3,4].

Методические вопросы эксперимента, включая идентификацию протонов, введение поправок на потерю протонов, испущенных под большим углом к плоскости фотографирования, рассмотрены в [5]. При получении распределений использовались все протоны за исключением однозарядных стриппинговых фрагментов сталкивающихся ядер. К стриппинговым фрагментам ядра-мишени отнесены протоны с импульсом $p < 300 \text{ МэВ/с}$, а ядра-снаряда — положительные частицы с $p > 3 \text{ ГэВ/с}$ и $\theta < 4^\circ$. Следует отме-



тить, что среди частиц, отнесенных нами к протонам, есть примесь дейtronов с $p > 480$ МэВ/с и тритронов с $p > 650$ МэВ/с. По различным оценкам их примесь среди всех однозарядных фрагментов составляет не более 10—15% [6—8].

Полное число событий и средняя множественность протонов по типам взаимодействий представлены в табл. 1.

Таблица 1. Статистика событий и средние множественности протонов

	pC	dC	αC	CC
$N_{\text{соб.}}$	5284	6735	4852	7327
$\langle N_p \rangle$ эксп.	1.60 ± 0.04	1.97 ± 0.04	2.96 ± 0.04	4.28 ± 0.05
$\langle N_p \rangle$ КГСМ	1.65 ± 0.03	1.81 ± 0.02	2.58 ± 0.03	3.97 ± 0.03

ЭКСПЕРИМЕНТАЛЬНЫЕ РЕЗУЛЬТАТЫ

Получены быстротные распределения протонов в различных интервалах поперечного импульса для pC -, dC -, αC - и CC-взаимодействий. По рис. 1 можно наглядно проследить характер изменения быстротных распределений протонов с увеличением поперечного импульса для CC-взаимодействий. Y -распределения протонов с $p_t < 0,5$ ГэВ/с характеризуются явно выраженным максимумом в областях фрагментации ядер углерода (рис. 1а, б) и минимумом в центральной области ($Y^0 = Y_{\text{с.ц.м.}} = 1,1$).

Асимметрия y -распределений протонов с $p_t < 0,5$ ГэВ/с относительно Y^0 обусловлена неравномерной по y примесью дейtronов и тритонов*. По мере роста поперечного импульса протонов минимум исчезает и при $p_t > 0,7$ ГэВ/с быстротные распределения протонов имеют колоколообразную форму (рис. 1г, д). Таким образом, с увеличением p_t растет доля протонов в центральной области и соответственно уменьшается в областях фрагментации сталкивающихся ядер.

Те же особенности наблюдаются для быстротных распределений протонов из pC -, dC - и αC -соударений. Из-за неравенства атомных весов взаимо-

* d и t , останавливающиеся в камере, неотличимы от протонов, и им приписывался импульс протона (согласно с пробегом). В результате такие d и t концентрируются в узком интервале быстрот (0,1—0,4).

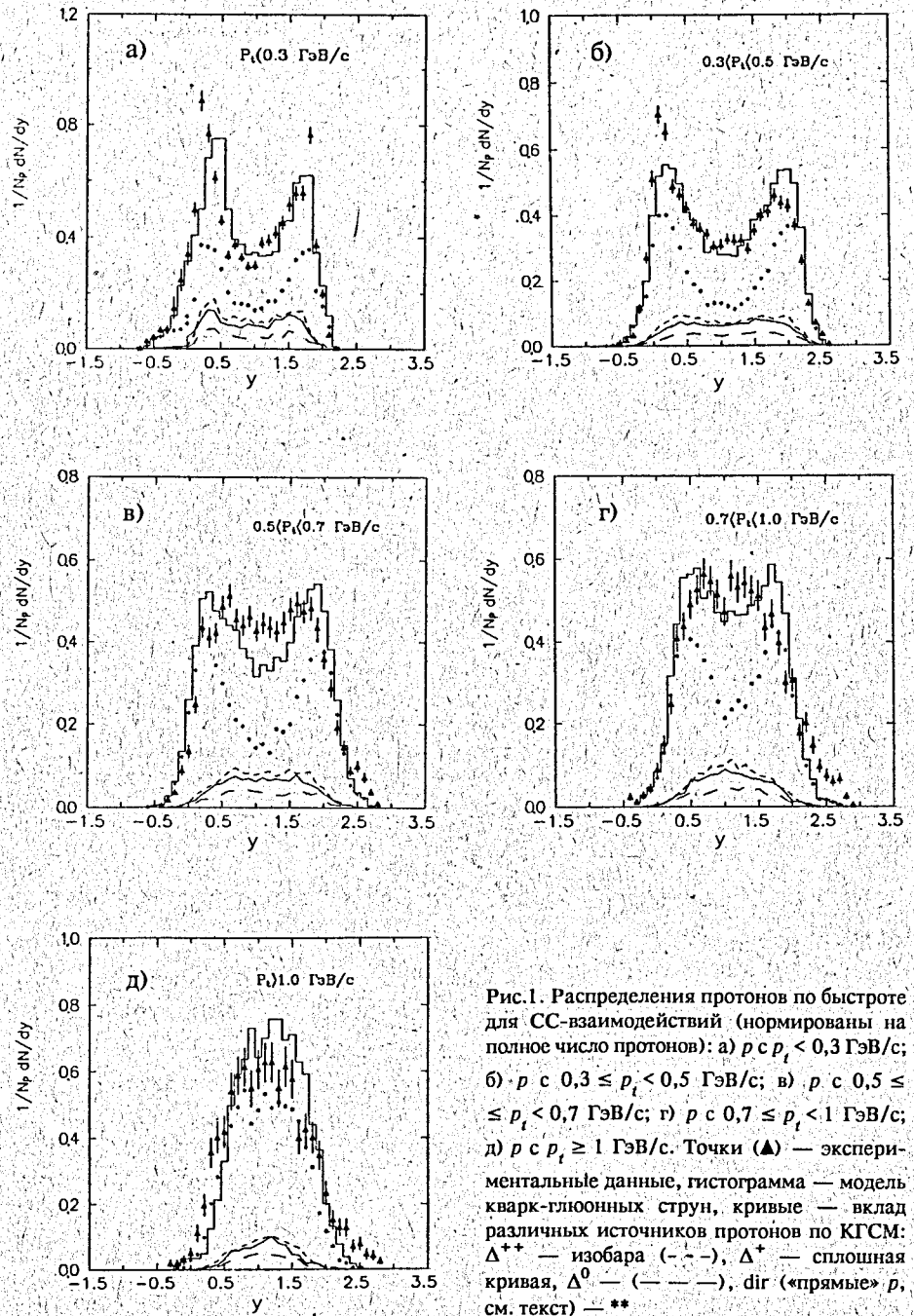


Рис. 1. Распределения протонов по быстроте для CC-взаимодействий (нормированы на полное число протонов): а) $p < p_t < 0,3$ ГэВ/с; б) $p < 0,3 \leq p_t < 0,5$ ГэВ/с; в) $p < 0,5 \leq p_t < 0,7$ ГэВ/с; г) $p < 0,7 \leq p_t < 1$ ГэВ/с; д) $p >= 1$ ГэВ/с. Точки (Δ) — экспериментальные данные, гистограмма — модель кварк-глюонных струн, кривые — вклад различных источников протонов по КГСМ: Δ^{++} — изобара ($---$), Δ^+ — сплошная кривая, Δ^0 — ($----$), dir («прямые» p , см. текст) — $**$.

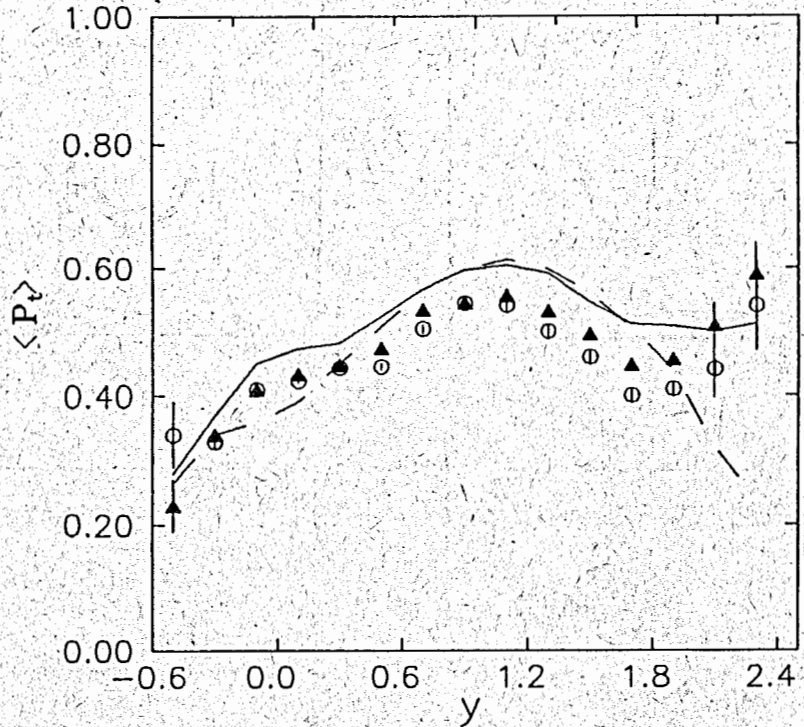


Рис.2. Зависимость среднего поперечного импульса протонов от быстроты для dC - (0) и CC - (\blacktriangle) -взаимодействий. Сплошная кривая — зависимость $\langle p_t \rangle$ от y по КГСМ с учетом экспериментальных погрешностей (см. текст), пунктир — то же — без учета погрешностей.

действующих ядер ($A_t > A_p$) быстротные распределения протонов для этих реакций асимметричны, причем в большей степени — распределения протонов с поперечными импульсами $p_t < 0,5$ ГэВ/с (см. табл. 2).

Влияние атомного веса налетающего ядра при данном p_t проявляется в увеличении вклада протонов в область фрагментации этого ядра. На рис.2 показана зависимость среднего поперечного импульса протонов от быстроты для dC - и CC -взаимодействий. Видно, что наибольший, в среднем, поперечный импульс имеют протоны в центральной области быстрот как в dC -, так и в CC -взаимодействиях. Это — либо протоны из налетающего ядра, затормозившиеся в ядре мишени, либо протоны из ядра мишени, получившие большой переданный импульс. Увеличение $\langle p_t \rangle$ в области $y > 2,0$ обусловлено в основном погрешностями в определении импульсов самых быстрых протонов.

Таблица 2. Средние значения быстрот по интервалам p_t

		$p_t < 0,3$ ГэВ/с				$0,3 \leq p_t < 0,5$				$0,5 \leq p_t < 0,7$				$0,7 \leq p_t < 1,0$				Все p_t							
		pC	dC	αC	CC	pC	dC	αC	CC	pC	dC	αC	CC	pC	dC	αC	CC	pC	dC	αC	CC				
$\langle Y \rangle$ эксп.		$0,75 \pm 0,01$	$0,77 \pm 0,01$	$0,81 \pm 0,01$	$0,99 \pm 0,01$	$0,66 \pm 0,01$	$0,67 \pm 0,01$	$0,80 \pm 0,01$	$0,99 \pm 0,01$	$0,75 \pm 0,01$	$0,781 \pm 0,010$	$0,968 \pm 0,008$	$1,111 \pm 0,006$	$0,90 \pm 0,01$	$0,89 \pm 0,01$	$1,03 \pm 0,01$	$1,15 \pm 0,01$	$0,85 \pm 0,02$	$1,01 \pm 0,01$	$1,15 \pm 0,02$	$1,142 \pm 0,006$	$0,93 \pm 0,01$	$1,042 \pm 0,007$	$1,104 \pm 0,007$	$1,076 \pm 0,006$
$\langle Y \rangle$ КГСМ		$0,70 \pm 0,01$	$0,704 \pm 0,008$	$0,858 \pm 0,007$	$1,021 \pm 0,005$	$0,624 \pm 0,007$	$0,641 \pm 0,008$	$0,859 \pm 0,008$	$1,073 \pm 0,005$																

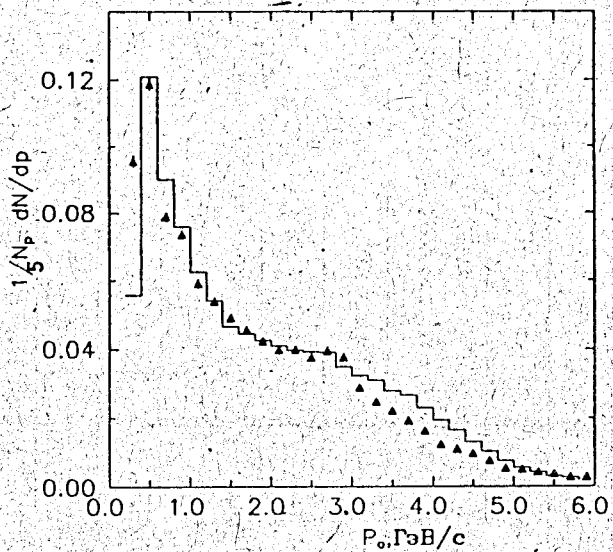


Рис.3. Импульсный спектр протонов для СС-взаимодействий. Точки — экспериментальные данные, гистограмма — КГСМ

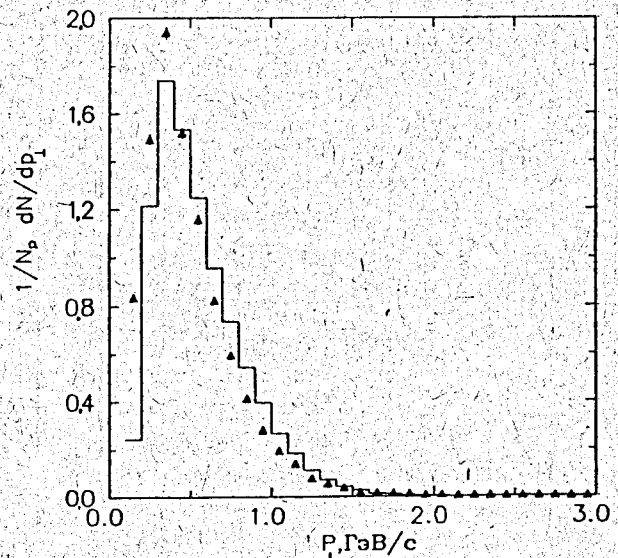


Рис.4. Распределение протонов по поперечному импульсу для СС-соударений. Обозначение, как на рис.3

Использованный вариант модели кварк-глюонных струн [2] удовлетворительно описывает распределения π^- -мезонов по кинематическим переменным для pC -, dC -, αC - и СС-взаимодействий [1]. В настоящей работе есть возможность посмотреть, насколько хорошо модель КГС описывает распределения протонов для тех же типов взаимодействий. В КГСМ в качестве источника протонов фигурируют Δ^{++} , Δ^+ и Δ^0 -изобары, а также первичные и вторичные NN -взаимодействия без образования изобар.

Проведенное сравнение экспериментальных инклюзивных распределений протонов по кинематическим переменным для pC -, dC -, αC - и СС-взаимодействий с соответствующими распределениями, полученными в рамках модели кварк-глюонных струн (моделированные события адаптированы к условиям нашего эксперимента), позволяет сделать вывод о качественном согласии модели КГС с экспериментом (рис. 3—6). В таблице 1 приведены средние множественности протонов, а в таблице 3 величины средних значений $p_{\text{лаб}}$, $\theta_{\text{лаб}}$ и p_t для протонов из изучаемых нами типов взаимодействий. Расхождение экспериментальных данных с расчетами по КГСМ не превышает 15 %. В [9] показано, что исключение примеси дейtronов улучшает согласие экспериментальных данных с КГСМ.

Таблица 3. Средние значения кинематических переменных протонов для (p, d, α, C) C-взаимодействий

	Тип событий	$\langle p_{\text{лаб.}} \rangle, \text{ГэВ/с}$	$\langle \theta_{\text{лаб.}} \rangle, \text{град.}$	$\langle p_t \rangle, \text{ГэВ/с}$
pC	эксп.	$1,258 \pm 0,011$	$37,7 \pm 0,4$	$0,437 \pm 0,003$
	КГСМ	$1,372 \pm 0,007$	$41,3 \pm 0,3$	$0,514 \pm 0,002$
dC	эксп.	$1,290 \pm 0,010$	$38,3 \pm 0,3$	$0,448 \pm 0,003$
	КГСМ	$1,376 \pm 0,008$	$40,6 \pm 0,2$	$0,520 \pm 0,002$
αC	эксп.	$1,556 \pm 0,010$	$34,5 \pm 0,3$	$0,486 \pm 0,003$
	КГСМ	$1,650 \pm 0,007$	$34,0 \pm 0,2$	$0,527 \pm 0,002$
CC	эксп.	$1,885 \pm 0,008$	$28,6 \pm 0,2$	$0,485 \pm 0,002$
	КГСМ	$1,914 \pm 0,006$	$28,5 \pm 0,1$	$0,530 \pm 0,001$

Продолжая сравнение модели КГС с экспериментом, вернемся к рис.1, где представлены Y -распределения всех протонов для СС-взаимодействий с данным p_t и протонов от различных источников.

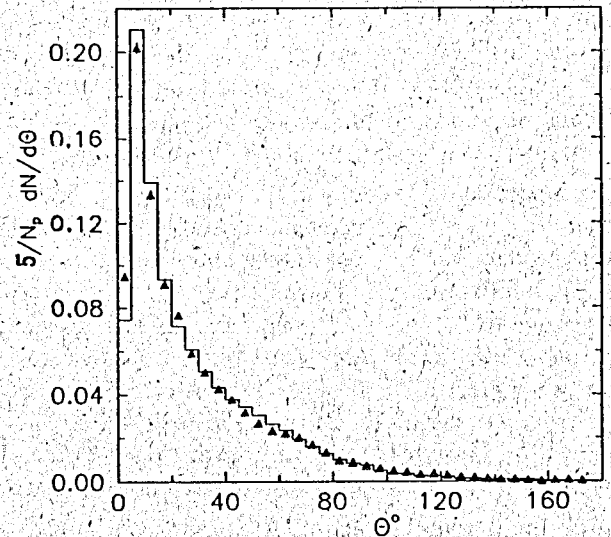


Рис.5. Угловое распределение протонов для СС-взаимодействий. Обозначения, как на рис.3

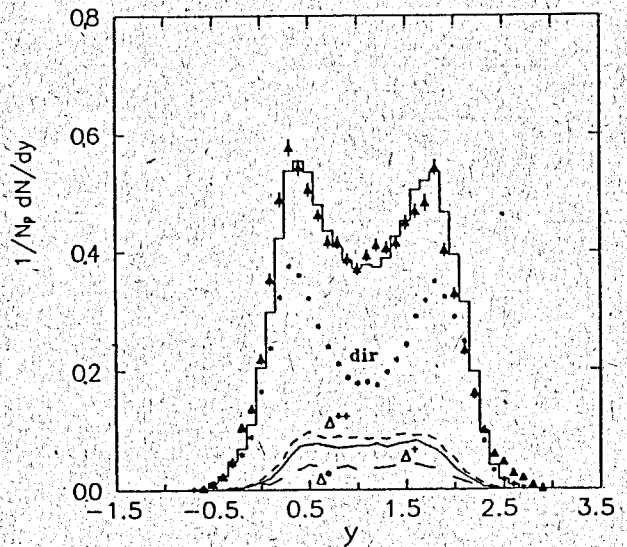


Рис.6. Распределение протонов по быстроте для СС-событий. Обозначение, как на рис.1

Таблица 4. Вклад протонов от различных источников в выделенные интервалы спектров p по поперечному импульсу в (p, d, α, C) С-взаимодействиях

Тип событий	p_t , ГэВ/с	Δ^{++} , %	Δ^+ , %	Δ^0 , %	«прямые» p , %
pC	15	11	4	70	
dC	15	14	6	65	
αC	все	13	11	6	70
CC	17	14	7	62	
pC	21	14	6	59	
dC	18	15	8	59	
αC	< 0,3	20	17	8	55
CC	22	18	9	51	
pC	16	10	4	70	
dC	14	10	6	70	
αC	0,3—0,5	16	13	6	65
CC	19	14	7	60	
pC	15	10	3	72	
dC	12	10	5	73	
αC	0,5—0,7	14	12	6	68
CC	16	12	7	65	
pC	12	9	3	76	
dC	12	10	6	72	
αC	0,7—1,0	10	8	5	77
CC	14	11	6	69	
pC	11	7	2	80	
dC	7	6	3	84	
αC	$\geq 1,0$	9	8	4	79
CC	11	9	5	75	

В областях $p_t < 0,5$ ГэВ/с и $p_t \geq 1$ ГэВ/с экспериментальные и расчетные Y -распределения протонов близки между собой по форме, а в интервале $0,5 \leq p_t < 1$ ГэВ/с наблюдается различие Y -распределений. По КГСМ двугорбая форма Y -распределений сохраняется вплоть до $p_t = 1$ ГэВ/с.

Модель КГС, адаптированная к условиям эксперимента, хорошо воспроизводит форму зависимости $\langle p_t \rangle$ от быстроты для СС-взаимодействий (сплошная кривая на рис. 2). Пунктирная кривая показывает зависимость

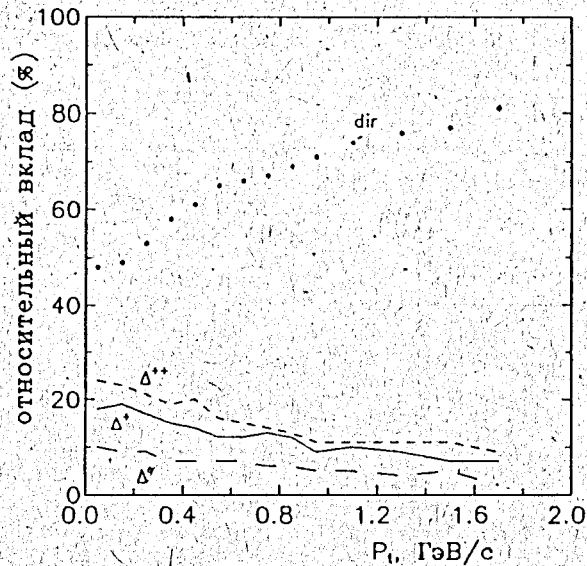


Рис.7. Относительный вклад источников протонов в импульсный спектр (p_t) по КГСМ для СС-взаимодействий

$\langle p_t \rangle$ от y без учета экспериментальных погрешностей в определении импульсов протонов.

Вклады протонов (в %) от различных источников в выделенные интервалы поперечных импульсов для pC - $, dC$ - $, \alpha C$ - и СС-взаимодействий приведены в табл.4, а для СС-соударений показаны и на рис.7.

Видно, что в КГСМ протоны образуются главным образом в прямых нуклон-нуклонных соударениях (62%), и именно форма Y -распределений «прямых» протонов определяет в основном форму быстротных распределений протонов (рис.1,6).

С увеличением поперечного импульса протонов доля протонов от распада изобар уменьшается с 49% для интервала $p_t < 0,3$ ГэВ/с до 25% при $p_t \geq 1$ ГэВ/с.

ЗАКЛЮЧЕНИЕ

Проведенное исследование быстротных распределений протонов в различных интервалах поперечного импульса для pC - $, dC$ - $, \alpha C$ - и СС-взаимодействий при 4,2 ГэВ/с на нуклон, а также сравнение этих распределений с моделью кварк-глюонных струн позволяет сделать следующие выводы.

Форма быстротных распределений протонов в A_pC -взаимодействиях существенно зависит от интервала поперечных импульсов. Быстротные распределения протонов с $p_t < 0,5$ ГэВ/с имеют характерные максимумы в областях фрагментации сталкивающихся ядер и минимумы в центральной области. С увеличением поперечного импульса структура Y -распределений исчезает, уступая место плато в центральной области. Таким образом, протоны, претерпевшие жесткие соударения (с большой передачей импульса), перемещаются в центральную область быстрот.

Сравнение экспериментальных данных с моделью кварк-глюонных струн показало, что модель неплохо воспроизводит экспериментальные результаты, в частности, по множественности протонов — участников, и средние характеристики протонов, расхождение не превышает 15% (см. табл.1—3).

Имеются некоторые расхождения в форме экспериментальных и расчетных распределений (рис.1в,3,4.).

Если считать использованный вариант модели КГС достаточно близким к истинной картине ядро-ядерных взаимодействий, то можно сказать, что основным источником вторичных протонов являются NN -соударения без образования изобар (см. табл.4, рис.7). В диапазоне малых p_t существенный вклад в среднюю множественность протонов дают Δ -изобары (40—50%). С увеличением p_t вклад протонов от распада изобар уменьшается до 25% в интервале $p_t \geq 1$ ГэВ/с, и соответственно возрастает доля прямых p от NN -взаимодействий.

Авторы благодарят С.Ю. Сивоклока за предоставление моделированных событий и полезные обсуждения, В.Д. Тонеева за полезные обсуждения и замечания, участников сотрудничества, получивших экспериментальный материал, лаборантов за просмотр пленок и измерения событий.

ЛИТЕРАТУРА

- Бекмирзяев Р.Н., Кладницкая Е.Н., Шарипова С.А. — Препринт ОИЯИ Р1-93-464, Дубна, 1993.
- Амелин Н.С. и др. — Препринт ОИЯИ Р2-89-870, Дубна, 1989; ЯФ, 1990, т.52, с.272.
- Агакишиев Г.Н. и др. — Сообщения ОИЯИ Р1-83-662, Дубна, 1983.
- Агакишиев Г.Н. и др. — Препринт ОИЯИ Р1-84-35, Дубна, 1984; ЯФ, 1984, т.40, с.1209.

5. Армутлийский Д. и др. — Препринт ОИЯИ Р1-86-263, Дубна, 1986; ЯФ, 1987, т.45, с.1047; Z.Phys. A, 1987, v.328, p.455.
6. Nagamiya S. et al. — Phys.Rev. C, 1981, v.24, p.971.
7. Malfliet R. et al. — Phys.Rev. C, 1985, v.31, p.1275.
8. Adyasevich B.P. et al. — Preprint IAE-3973/2, Moscow, 1984; Preprint IAE24148/2, Moscow, 1985.
9. Backovic S. et al. — Phys.Rev. C (to be published).

Рукопись поступила в издательский отдел
12 июля 1994 года.

Бекмирзаев Р.Н. и др.
Быстроотные распределения протонов
в $(p, d, \alpha, C)C$ -взаимодействиях при 4,2 ГэВ/с на нуклон

P1-94-260

Анализируются распределения протонов по быстроте в зависимости от поперечного импульса протонов для pC -, dC -, αC - и CC -взаимодействий при импульсе 4,2 ГэВ/с на нуклон. Экспериментальные данные сравниваются с результатами, полученными для событий, генерированных по модели кварк-глюонных струн. Показано, что модель КГС удовлетворительно описывает инклузивные распределения протонов по кинематическим переменным. С помощью модели КГС определены вклады протонов от распада Δ -изобар и «прямых» протонов в быстроотные распределения для различных интервалов поперечного импульса.

Работа выполнена в Лаборатории высоких энергий ОИЯИ.

Препринт Объединенного института ядерных исследований. Дубна 1994

Перевод авторов

Bekmirzaev R.N. et al.
Rapidity Distributions of Protons
in $(p, d, \alpha, C)C$ -Interactions at 4.2 GeV/c per Nucleon

P1-94-260

The dependences of proton rapidity distributions on transverse momentum for pC , dC , αC and CC interactions at 4.2 GeV/c per nucleon are studied. The experimental results are compared with the calculations according to the quark-gluon string model. It is shown that QGSM satisfactorily describes the experimental data. The contributions of protons emitted from decays of Δ^{++} , Δ^+ , Δ^0 isobars and of direct ones to multiplicities of protons in different rapidity bins and in different p_t intervals have been determined with the help of above model.

The investigation has been performed at the Laboratory of High Energies, JINR.